

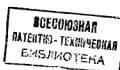


СОЮЗ СОВЕТСКИХ  
СОЦИАЛИСТИЧЕСКИХ  
РЕСПУБЛИК

ГОСУДАРСТВЕННЫЙ КОМИТЕТ  
ПО ИЗОБРЕТЕНИЯМ И ОТКРЫТИЯМ  
ПРИ ГКНТ СССР

(19) SU (11) 1696752 A1

(51) 5 F 04 D 29/22



# ОПИСАНИЕ ИЗОБРЕТЕНИЯ

## К АВТОРСКОМУ СВИДЕТЕЛЬСТВУ

1

- (21) 4709139/29
- (22) 23.06.89
- (46) 07.12.91. Бюл. № 45
- (72) А.М. Кац, Н.С. Яловой, Р.Н. Соколов и А.Я. Хрусталев
- (53) 621.671(088.8)
- (56) Авторское свидетельство СССР № 1455813, кл. F 04 D 29/22, 1988.
- (54) РАБОЧЕЕ КОЛЕСО ЦЕНТРОБЕЖНОГО НАСОСА
- (57) Изобретение предназначено для повышения надежности работы путем обеспечения стабильности напорной характеристики насоса с  $n_2=40-60$  и числом лопастей 5 - 7. Это достигается тем, что угол установки лопастей на выходе выполнен равным 18-25°, диаметр входа в рабочее колесо

2

$D = \sqrt{K_0^2 (Q/n)^{2/3} + d_{st}}$ , а коэффициент стеснения потока лопастями на входе в колесо в области пересечения входной кромки лопастей с покрытым диском

$$\tau = \frac{\pi \cdot D_h}{Z} - (\delta_h / \sin \beta_{1p})$$

$$\tau = \frac{(\pi \cdot D_h)/Z}{(\pi \cdot D_h)/Z} = 0.73 - 0.88 \text{ где}$$

$K_0=3.5-4.9$ ;  $d_{st}$  - диаметр втулки колеса;  $Q/n$  - отношение подачи к числу оборотов колеса, характерное для насоса;  $D_h$  - диаметр расположения точки пересечения входной кромки с покрытым диском;  $\beta_{1p}$  - угол установки лопасти на выходе у покрытого диска;  $\delta_h$  - толщина лопасти на входе в колесо. Указанные диапазоны и соотношения обоснованы экспериментально. 9 ил.

Изобретение относится к насосостроению, а именно к конструкциям рабочих колес центробежных насосов с коэффициентом быстроходности  $n_2=40-60$  и числом лопастей от 5 до 7.

Цель изобретения - повышение надежности работы насоса путем обеспечения стабильности формы напорной характеристики.

На фиг.1 изображено рабочее колесо центробежного насоса, меридиональное сечение; на фиг.2 - график напорной характеристики насоса с обозначением угла  $\alpha$  наклона левой западающей ветви напорной характеристики (пунктиром показана незападающая левая ветвь); на фиг.3 - угол  $\beta_{2l}$  установки лопастей на выходе; на фиг.4 - сечение A-A на фиг.1; на фиг.5 - зависи-

мость угла  $\alpha$  западания левой ветви напорной характеристики от  $K_0$ ; на фиг.6 - зависимость числа лопастей Z от параметра  $K_0$ ; на фиг.7 - зависимость угла  $\beta_{2l}$  от параметра  $K_0$ ; на фиг.8 - зависимость стеснения τ потока на входе от параметра  $K_0$ ; на фиг.9 - зависимость угла  $\alpha$  западания левой ветви напорной характеристики от коэффициента быстроходности  $n_2$  насоса.

Рабочее колесо центробежного насоса содержит ведущий 1 и покрытый 2 диски и расположенные между ними лопасти 3. Угол установки лопастей 3 на выходе выполнен равным 18-25°, диаметр входа в рабочее колесо

$$D = \sqrt{K_0^2 (Q/n)^{2/3} + d_{st}}$$

(19) SU (11) 1696752 A1

з коэффициент стеснения потока лопастями на входе в колесо в области пересечения входной кромки 4 с покрывным диском 2 равным

$$\tau = \frac{\frac{\pi \cdot D_h}{Z} - (\delta_h / \sin \beta_{1n})}{(\pi \cdot D_h) / Z} = 0.73 - 0.88$$

где  $K_0 = 3.5-4.9$ ;  $d_{vt}$  – диаметр втулки рабочего колеса;  $Q/n$  – отношение подачи к числу оборотов колеса, характерное для данного насоса;  $D_h$  – диаметр расположения точки пересечения входной кромки 4 с покрывным диском 2;  $\beta_{1n}$  – угол установки лопасти на входе у покрывного диска;  $\delta$  – толщина лопасти на входе в колесо.

Колесо с указанными геометрическими соотношениями обладает стабильной формой напорной характеристики, что обосновано многофакторным экспериментом, результаты которого отражены на фиг. 5-9.

#### Ф о р м у л а изобр ет ен и я

Рабочее колесо центробежного насоса, содержащее ведущий и покрывной диски и расположенные между ними лопасти, отличают щеется тем, что, с целью повышения

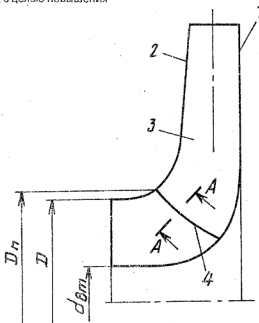
надежности работы насоса с коэффициентом быстроходности 40–60 с числом лопастей  $Z=5-7$  путем обеспечения стабильности формы его напорной характеристики, угол установки лопастей на выходе выполнен равным  $13-25^\circ$ , диаметр входа в рабочее колесо

$$D = \sqrt{K_0^2 (Q/n)^{2/3} + d_{vt}} ,$$

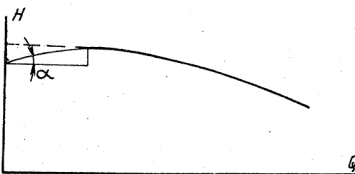
а коэффициент стеснения потока лопастями на входе в колесо в области пересечения входной кромки лопасти с покрывным диском равен

$$\tau = \frac{\frac{\pi \cdot D_h}{Z} - (\delta_h / \sin \beta_{1n})}{(\pi \cdot D_h) / Z} = 0.73 - 0.88,$$

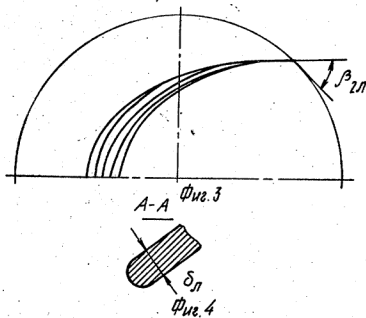
где  $K_0 = 3.5-4.9$ ;  $d_{vt}$  – диаметр втулки рабочего колеса;  $Q/n$  – отношение подачи к числу оборотов колеса для данного насоса;  $D_h$  – диаметр расположения точки пересечения входной кромки лопасти с покрывным диском;  $\beta_{1n}$  – угол установки лопасти на входе у покрывного диска;  $\delta$  – толщина лопасти на входе в колесо.



фиг. 1



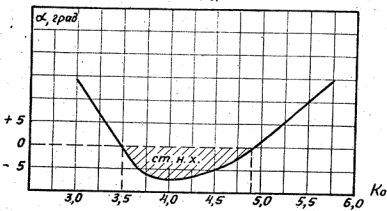
Фиг.2



Фиг.3



Фиг.4



Фиг.5

